

(19) 日本国特許庁(JP)

(12) 公開特許公報(A)

(11) 特許出願公開番号

特開2010-78965
(P2010-78965A)

(43) 公開日 平成22年4月8日(2010.4.8)

| | | | | |
|--------------------------------|--|---------------|---------|-------------|
| (51) Int.Cl. | | F I | | テーマコード (参考) |
| G 1 0 L 19/02 (2006.01) | | G 1 0 L 19/02 | 1 6 0 A | |
| G 1 0 L 19/00 (2006.01) | | G 1 0 L 19/00 | 1 0 0 | |
| | | G 1 0 L 19/02 | 1 4 4 | |

審査請求 未請求 請求項の数 10 O L (全 25 頁)

| | | | |
|-----------|------------------------------|----------|--|
| (21) 出願番号 | 特願2008-247683 (P2008-247683) | (71) 出願人 | 000002185 ソニー株式会社 東京都港区港南1丁目7番1号 |
| (22) 出願日 | 平成20年9月26日 (2008.9.26) | (74) 代理人 | 100082131 弁理士 稲本 義雄 |
| | | (74) 代理人 | 100121131 弁理士 西川 孝 |
| | | (72) 発明者 | 茂木 幸彦 東京都港区港南1丁目7番1号 ソニー株式会社内 |
| | | (72) 発明者 | 鎌田 征人 東京都港区港南1丁目7番1号 ソニー株式会社内 |

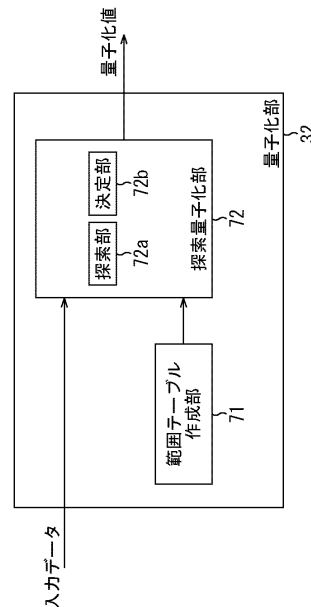
(54) 【発明の名称】 演算装置および方法、量子化装置および方法、並びにプログラム

(57) 【要約】

図2

【課題】より効率良く非線形な演算を行う。
 【解決手段】範囲テーブル作成部72は、入力データXに対応する量子化前の値Yに対して非線形な演算を施して得られる演算結果を量子化した量子化値Zと、量子化値Zをとりうる量子化前の値Yの範囲とを対応付けた範囲テーブルを作成し、探索量子化部73は、入力データが入力されたとき、範囲テーブルにおいて、入力された入力データXに対応する量子化前の値Yが含まれる範囲を探索し、探索された範囲に対応する量子化値Zを出力する。本発明は、例えば、量子化処理を行うオーディオ符号化装置に適用することができる。

【選択図】図2



【特許請求の範囲】**【請求項 1】**

入力値に対して非線形な演算を施して得られる演算結果を離散化した離散値と、前記離散値をとりうる前記入力値の範囲とを対応付けた範囲テーブルを作成する範囲テーブル作成手段と、

前記入力値が入力されたとき、前記範囲テーブルにおいて、入力された前記入力値が含まれる前記範囲を探索し、探索された前記範囲に対応する前記離散値を出力する探索手段と

を備える演算装置。

【請求項 2】

前記範囲テーブルに基づいて、ハッシュテーブルを作成するハッシュテーブル作成手段をさらに備え、

前記探索手段は、少なくとも 1 つの前記範囲を、前記ハッシュテーブルに基づいて、前記範囲テーブルにおける前記範囲の初期探索値を決定し、前記初期探索値と前記範囲テーブルとに基づいて、入力された前記入力値が含まれる前記範囲を探索し、探索された前記範囲に対応する前記離散値を出力する

請求項 1 に記載の演算装置。

【請求項 3】

前記ハッシュテーブル作成手段は、前記範囲テーブルにおいて前記範囲を決めている前記入力値の指数部と仮数部の少なくともいずれか 1 つを用いて、前記ハッシュテーブルを作成する

請求項 2 に記載の演算装置。

【請求項 4】

前記探索手段は、

出力の頻度の高い離散値に対応する入力値が入力されたとき、前記範囲テーブルに基づいて、入力された前記入力値が含まれる前記範囲を探索し、

出力の頻度の低い離散値に対応する入力値が入力されたとき、前記ハッシュテーブルに基づいて、前記範囲テーブルにおける前記範囲の初期探索値を決定し、前記初期探索値と前記範囲テーブルとに基づいて、入力された前記入力値が含まれる前記範囲を探索する

請求項 2 に記載の演算装置。

【請求項 5】

前記探索手段は、前記入力値が入力されたとき、前記範囲テーブルにおいて、入力された前記入力値が含まれる前記範囲を二分探索する

請求項 1 に記載の演算装置。

【請求項 6】

入力値に対して非線形な演算を施して得られる演算結果を離散化した離散値と、前記離散値をとりうる前記入力値の範囲とを対応付けた範囲テーブルを作成する範囲テーブル作成ステップと、

前記入力値が入力されたとき、前記範囲テーブルにおいて、入力された前記入力値が含まれる前記範囲を探索し、探索された前記範囲に対応する前記離散値を出力する探索ステップと

を含む演算方法。

【請求項 7】

入力値に対して非線形な演算を施して得られる演算結果を離散化した離散値と、前記離散値をとりうる前記入力値の範囲とを対応付けた範囲テーブルを作成する範囲テーブル作成ステップと、

前記入力値が入力されたとき、前記範囲テーブルにおいて、入力された前記入力値が含まれる前記範囲を探索し、探索された前記範囲に対応する前記離散値を出力する探索ステップと

を含む処理をコンピュータに実行させるプログラム。

10

20

30

40

50

【請求項 8】

入力値に対して非線形な演算を施して得られる演算結果を量子化した量子化値と、前記量子化値をとりうる前記入力値の範囲とを対応付けた範囲テーブルを作成する範囲テーブル作成手段と、

前記入力値が入力されたとき、前記範囲テーブルにおいて、入力された前記入力値が含まれる前記範囲を探索し、探索された前記範囲に対応する前記量子化値を出力する探索手段と

を備える量子化装置。

【請求項 9】

入力値に対して非線形な演算を施して得られる演算結果を量子化した量子化値と、前記量子化値をとりうる前記入力値の範囲とを対応付けた範囲テーブルを作成する範囲テーブル作成ステップと、

前記入力値が入力されたとき、前記範囲テーブルにおいて、入力された前記入力値が含まれる前記範囲を探索し、探索された前記範囲に対応する前記量子化値を出力する探索ステップと

を含む量子化方法。

【請求項 10】

入力値に対して非線形な演算を施して得られる演算結果を量子化した量子化値と、前記量子化値をとりうる前記入力値の範囲とを対応付けた範囲テーブルを作成する範囲テーブル作成ステップと、

前記入力値が入力されたとき、前記範囲テーブルにおいて、入力された前記入力値が含まれる前記範囲を探索し、探索された前記範囲に対応する前記量子化値を出力する探索ステップと

を含む処理をコンピュータに実行させるプログラム。

【発明の詳細な説明】**【技術分野】****【0001】**

本発明は、演算装置および方法、量子化装置および方法、並びにプログラムに関し、特に、より効率良く非線形な演算を行うことができるようにする演算装置および方法、量子化装置および方法、並びにプログラムに関する。

【背景技術】**【0002】**

アナログ信号をデジタル信号処理で扱うためには、信号の定義域を離散化する標本化処理に加え、信号の値域を離散化する量子化処理が必要である。また、既に値域の離散化が行われたデジタル信号を、より少ないデータ量で扱う場合には、さらに粗く離散化することがあり、この過程も量子化処理に含まれる。量子化処理においては、離散化後の値を量子化値と呼び、その量子化値が割り当てられた符号を量子化符号と呼ぶ。また、隣り合う量子化値の間隔を量子化ステップ幅、値域全体に含まれる量子化値の数を量子化ステップ数とそれぞれ呼ぶ。

【0003】

一方、デジタル信号処理を行った結果得られるデジタル信号を、アナログ信号として出力する場合等には、量子化符号から、元の連続的な値や小さい量子化ステップ幅で離散化された値を復元する過程が必要となる。この過程を逆量子化処理と呼ぶ。逆量子化処理においては、量子化符号に対応する量子化値を逆量子化変換により変換して元の値に復元する。

【0004】

ここで、量子化値は、量子化処理において連続的な値を離散的な値に近似したものであるため、逆量子化処理による復元値（逆量子化値）と元の値との間には、量子化処理による誤差が発生する。したがって、逆量子化処理においては、量子化処理が行われる前の値（量子化前の値）を完全に復元することはできず、復元される逆量子化値は、量子化誤差

10

20

30

40

50

を含んだ近似値となる。

【0005】

一般に、量子化ステップ幅が大きい場合、量子化誤差は大きくなるが、量子化ステップ数は少なくなるので、量子化符号を表現するのに必要なデータ量は少なくなる。一方、量子化ステップ幅が小さい場合、量子化誤差は小さくなるが、量子化ステップ数は大きくなるので、量子化符号を表現するのに必要なデータ量は多くなる。

【0006】

量子化において、量子化ステップ幅が一定であるものを線形量子化と呼ぶのに対して、量子化ステップ幅が一定ではないものを非線形量子化と呼ぶ。非線形量子化は、線形量子化と比較して、下記のような特徴を有している。

10

【0007】

まず、信号の出現確率に偏りがある場合、出現の確率が高い値（信号）の近傍では、量子化ステップ幅を小さくし、出現の確率が低い値の近傍では、量子化ステップ幅を大きくした非線形量子化処理を行うことで、線形量子化処理と比較して、平均的に量子化誤差を小さくすることができる。また、同様の手法により、量子化ステップ数を信号の出現確率に応じて調整することにより、線形量子化処理と比較して、平均量子化誤差を悪化させることなく、データ量を削減することもできる。

【0008】

また、特に、オーディオ信号や画像信号の場合、聴覚や視覚の特性に従い、人間が感覚的に敏感になる値の近傍では、量子化ステップ幅を小さくし、人間が感覚的に敏感でない値の近傍では、量子化ステップ幅を大きくすることで、線形量子化処理と比較して、量子化誤差を人間に知覚させにくくすることができる。また、同様の手法により、量子化ステップ数を人間の知覚の特性に合わせて調整することにより、線形量子化処理と比較して、人間が知覚する誤差を悪化させることなく、データ量を削減することもできる。

20

【0009】

したがって、非線形量子化処理は、信号の出現確率に偏りがある信号や、オーディオ信号または画像信号等の人間の感覚的な特性に従う信号等を扱う様々な分野で利用されている。

【0010】

ところで、オーディオ信号を符号化する方式として、MPEG (Moving Picture Expert Group) オーディオ規格が知られている。MPEGオーディオ規格には複数の符号化方式があるが、ISO/IEC (International Organization for Standardization/International Electrotechnical Commission) 13818-7にて、MPEG-2オーディオ規格AAC (Advanced Audio Coding) という符号化方式が標準化されている。

30

【0011】

また、さらに拡張されたISO/IEC 14496-3にて、MPEG-4オーディオ規格AACという符号化方式が標準化されている。なお、以下では、MPEG-2オーディオ規格AACとMPEG-4オーディオ規格AACとを併せて、AAC規格と呼ぶこととする。

【0012】

AAC規格に準拠した従来のオーディオ符号化装置は、聴覚心理モデル保持部、ゲイン制御部、スペクトル処理部、量子化/符号化部、およびマルチプレクサ部を備えている。

40

【0013】

オーディオ符号化装置に入力されたオーディオ信号は、聴覚心理モデル保持部において、時間軸に沿ってブロック化され、分割帯域ごとに人間の聴覚特性に従って分析されて、各分割帯域の許容誤差強度が算出される。

【0014】

また、入力されたオーディオ信号は、ゲイン制御部において、4つの等間隔の周波数帯域に分割され、所定の帯域について利得調整が行われる。

【0015】

さらに、利得調整されたオーディオ信号は、スペクトル処理部において、周波数領域の

50

スペクトルデータに変換され、聴覚心理モデル保持部によって算出された許容誤差強度に基づいて、所定の処理が施される。そして、所定の処理が施されたスペクトルデータ（オーディオ信号）は、量子化／符号化部において、符号列に変換され、マルチプレクサ部において、各種の情報が多重化されることで、ビットストリームとして出力される。

【0016】

上述した量子化／符号化部においては、オーディオ信号に対して非線形量子化処理が行われる。

【0017】

ところで、上述のようなオーディオ符号化装置によって符号化された符号化ビットストリームに対して、非線形逆量子化処理を行う復号装置が提案されている（例えば、特許文献1参照）。非線形逆量子化処理においては、入力値である量子化値が整数値であるので、入力値としての量子化値と、逆量子化値との関係を予めテーブルとして作成することで、逆量子化処理の実行時には、テーブルに基づいて一意に逆量子化値を決定することができる。

10

【0018】

【特許文献1】特開2000-47850号公報

【発明の開示】

【発明が解決しようとする課題】

【0019】

しかしながら、非線形量子化処理においては、例えば、入力値が浮動小数点数である場合、非線形逆量子化処理のように、入力値に対して量子化値が一意で決定されるテーブルを作成することはできなかった。

20

【0020】

また、上述したオーディオ符号化装置の非線形量子化処理においては、べき乗関数を用いるため、アルゴリズムが難解になり、サイクル数を要してしまう。

【0021】

上述したようなオーディオ符号化装置に実装される組み込みCPU（Central Processing Unit）やDSP（Digital Signal Processor）は、パーソナルコンピュータのCPUと異なり、動作周波数が数百MHzと低いので、数学ライブラリのようなサイクル数を要する関数を用いることは避けたい。

30

【0022】

本発明は、このような状況に鑑みてなされたものであり、より効率良く非線形な演算を行うことができるようにするものである。

【課題を解決するための手段】

【0023】

本発明の第1の側面の演算装置は、入力値に対して非線形な演算を施して得られる演算結果を離散化した離散値と、前記離散値をとりうる前記入力値の範囲とを対応付けた範囲テーブルを作成する範囲テーブル作成手段と、前記入力値が入力されたとき、前記範囲テーブルにおいて、入力された前記入力値が含まれる前記範囲を探索し、探索された前記範囲に対応する前記離散値を出力する探索手段とを備える。

40

【0024】

前記演算装置には、前記範囲テーブルに基づいて、ハッシュテーブルを作成するハッシュテーブル作成手段をさらに設け、前記探索手段には、少なくとも1つの前記範囲を、前記ハッシュテーブルに基づいて、前記範囲テーブルにおける前記範囲の初期探索値を決定させ、前記初期探索値と前記範囲テーブルとに基づいて、入力された前記入力値が含まれる前記範囲を探索させ、探索された前記範囲に対応する前記離散値を出力させることができる。

【0025】

前記ハッシュテーブル作成手段には、前記範囲テーブルにおいて前記範囲を決めている前記入力値の指数部と仮数部の少なくともいずれか1つを用いて、前記ハッシュテーブル

50

を作成させることができる。

【0026】

前記探索手段には、出力の頻度の高い離散値に対応する入力値が入力されたとき、前記範囲テーブルに基づいて、入力された前記入力値が含まれる前記範囲を探索させ、出力の頻度の低い離散値に対応する入力値が入力されたとき、前記ハッシュテーブルに基づいて、前記範囲テーブルにおける前記範囲の初期探索値を決定し、前記初期探索値と前記範囲テーブルとに基づいて、入力された前記入力値が含まれる前記範囲を探索させることができる。

【0027】

前記探索手段には、前記入力値が入力されたとき、前記範囲テーブルにおいて、入力された前記入力値が含まれる前記範囲を二分探索させることができる。

10

【0028】

本発明の第1の側面の演算方法は、入力値に対して非線形な演算を施して得られる演算結果を離散化した離散値と、前記離散値をとりうる前記入力値の範囲とを対応付けた範囲テーブルを作成する範囲テーブル作成ステップと、前記入力値が入力されたとき、前記範囲テーブルにおいて、入力された前記入力値が含まれる前記範囲を探索し、探索された前記範囲に対応する前記離散値を出力する探索ステップとを含む。

【0029】

本発明の第1の側面のプログラムは、入力値に対して非線形な演算を施して得られる演算結果を離散化した離散値と、前記離散値をとりうる前記入力値の範囲とを対応付けた範囲テーブルを作成する範囲テーブル作成ステップと、前記入力値が入力されたとき、前記範囲テーブルにおいて、入力された前記入力値が含まれる前記範囲を探索し、探索された前記範囲に対応する前記離散値を出力する探索ステップとを含む処理をコンピュータに実行させる。

20

【0030】

本発明の第2の側面の量子化装置は、入力値に対して非線形な演算を施して得られる演算結果を量子化した量子化値と、前記量子化値をとりうる前記入力値の範囲とを対応付けた範囲テーブルを作成する範囲テーブル作成手段と、前記入力値が入力されたとき、前記範囲テーブルにおいて、入力された前記入力値が含まれる前記範囲を探索し、探索された前記範囲に対応する前記量子化値を出力する探索手段とを備える。

30

【0031】

本発明の第2の側面の量子化方法は、入力値に対して非線形な演算を施して得られる演算結果を量子化した量子化値と、前記量子化値をとりうる前記入力値の範囲とを対応付けた範囲テーブルを作成する範囲テーブル作成ステップと、前記入力値が入力されたとき、前記範囲テーブルにおいて、入力された前記入力値が含まれる前記範囲を探索し、探索された前記範囲に対応する前記量子化値を出力する探索ステップとを含む。

【0032】

本発明の第2の側面のプログラムは、入力値に対して非線形な演算を施して得られる演算結果を量子化した量子化値と、前記量子化値をとりうる前記入力値の範囲とを対応付けた範囲テーブルを作成する範囲テーブル作成ステップと、前記入力値が入力されたとき、前記範囲テーブルにおいて、入力された前記入力値が含まれる前記範囲を探索し、探索された前記範囲に対応する前記量子化値を出力する探索ステップとを含む処理をコンピュータに実行させる。

40

【0033】

本発明の第1の側面においては、入力値に対して非線形な演算を施して得られる演算結果を離散化した離散値と、離散値をとりうる入力値の範囲とを対応付けた範囲テーブルが作成され、入力値が入力されたとき、範囲テーブルにおいて、入力された入力値が含まれる範囲が探索され、探索された範囲に対応する離散値が出力される。

【0034】

本発明の第2の側面においては、入力値に対して非線形な演算を施して得られる演算結

50

果を量子化した量子化値と、量子化値をとりうる入力値の範囲とを対応付けた範囲テーブルが作成され、入力値が入力されたとき、範囲テーブルにおいて、入力された入力値が含まれる範囲が探索され、探索された範囲に対応する量子化値が出力される。

【発明の効果】

【0035】

本発明の第1および第2の側面によれば、より効率良く非線形な演算を行うことが可能となる。

【発明を実施するための最良の形態】

【0036】

以下、本発明の実施の形態について図を参照して説明する。なお、説明は以下の順序で行う。

1. 第1の実施の形態
2. 第2の実施の形態
3. 第3の実施の形態

【0037】

< 1. 第1の実施の形態 >

[オーディオ符号化装置の構成例]

図1に、本発明を適用したオーディオ符号化装置の一実施の形態の構成例を示す。

【0038】

図1のオーディオ符号化装置は、聴覚心理モデル保持部11、ゲイン制御部12、スペクトル処理部13、量子化/符号化部14、およびマルチプレクサ部15から構成される。

【0039】

オーディオ符号化装置に入力されたオーディオ信号は、聴覚心理モデル保持部11およびゲイン制御部12に供給される。聴覚心理モデル保持部11は、入力されたオーディオ信号を時間軸に沿ってブロック化し、ブロック化されたオーディオ信号を分割帯域ごとに人間の聴覚特性に従って分析して、各分割帯域の許容誤差強度を算出する。聴覚心理モデル保持部11は、算出した許容誤差強度を、スペクトル処理部13、および、量子化/符号化部14に供給する。

【0040】

ゲイン制御部12は、AAC規格の符号化アルゴリズムとして用意されているMain, LC (Low Complexity), SSR (Scalable Sampling Rate) の3つのプロファイルのうちの、SSRプロファイルのみに使用される。ゲイン制御部12は、入力されたオーディオ信号を4つの等間隔の周波数帯域に分割し、例えば、最低域以外の帯域について利得調整を行って、スペクトル処理部13に供給する。

【0041】

スペクトル処理部13は、ゲイン制御部12において利得調整されたオーディオ信号を周波数領域のスペクトルデータに変換する。また、スペクトル処理部13は、聴覚心理モデル保持部11から供給された許容誤差強度に基づいて、スペクトル処理部13の各部を制御し、スペクトルデータに所定の処理を施す。

【0042】

スペクトル処理部13は、MDCT (Modified Discrete Cosine Transform) 部21, TNS (Temporal Noise Shaping) 処理部22、インテンシティ/カップリング部23、予測部24、およびM/Sステレオ (Middle/Side Stereo) 部25を備えている。

【0043】

MDCT部21は、ゲイン制御部12から供給された時間領域のオーディオ信号を周波数領域のスペクトルデータ (MDCT係数) に変換し、TNS処理部22に供給する。TNS処理部22は、MDCT部21からのスペクトルデータを、時間領域の信号であるかのように見立てて線形予測を行い、スペクトルデータに対して予測フィルタリングを行って、ビットストリームとして、インテンシティ/カップリング部23に供給する。インテンシティ/カップリ

10

20

30

40

50

ング部 2 3 は、TNS処理部 2 2 からのスペクトルデータとしてのオーディオ信号に対して、異なるチャンネルの相関を利用した圧縮処理（ステレオ相関符号化処理）を施す。

【 0 0 4 4 】

予測部 2 4 は、上述した 3 つのプロファイルのうちの、Mainプロファイルのみに使用される。予測部 2 4 は、インテンシティ / カップリング部 2 3 においてステレオ相関符号化されたオーディオ信号と、量子化 / 符号化部 1 4 から供給されるオーディオ信号とを用いて予測符号化を行い、その結果得られたオーディオ信号をM/Sステレオ部 2 5 に供給する。M/Sステレオ部 2 5 は、予測部 2 4 からのオーディオ信号をステレオ相関符号化し、量子化 / 符号化部 1 4 に供給する。

【 0 0 4 5 】

量子化 / 符号化部 1 4 は、正規化係数部 3 1、量子化部 3 2、およびハフマン符号化部 3 3 を備えており、スペクトル処理部 1 3 のM/Sステレオ部 2 5 からのオーディオ信号を符号列に変換し、マルチプレクサ部 1 5 に供給する

【 0 0 4 6 】

正規化係数部 3 1 は、M/Sステレオ部 2 5 からのオーディオ信号を量子化部 3 2 に供給するとともに、そのオーディオ信号に基づいて、オーディオ信号の量子化に用いる正規化係数を算出し、量子化部 3 2 およびハフマン符号化部 3 3 に供給する。図 1 の量子化装置においては、例えば、聴覚心理モデル保持部 1 1 からの許容誤差強度が用いられて、分割帯域ごとの正規化係数として、量子化ステップパラメータが算出される。

【 0 0 4 7 】

量子化部 3 2 は、正規化係数部 3 1 からの正規化係数を用いて、正規化係数部 3 1 から供給されたオーディオ信号を非線形量子化し、その結果得られたオーディオ信号（量子化値）をハフマン符号化部 3 3 および予測部 2 4 に供給する。ハフマン符号化部 3 3 は、予め定められたハフマン符号表に基づいて、正規化係数部 3 1 からの正規化係数と、量子化部 3 2 からの量子化値とをハフマン符号化し、マルチプレクサ部 1 5 に供給する。

【 0 0 4 8 】

マルチプレクサ部 1 5 は、ゲイン制御部 1 2 およびMDCT部 2 1 乃至正規化係数部 3 1 からそれぞれ供給された、オーディオ信号の符号化の過程で生成された各種の情報と、ハフマン符号化部 3 3 からのハフマン符号とを多重化する。これにより、マルチプレクサ部 1 5 は、オーディオ信号のビットストリームを生成し、生成したオーディオ信号のビットストリームを出力する。

【 0 0 4 9 】

上述した量子化部 3 2 におけるオーディオ信号の非線形量子化処理は、正規化係数部 3 1 からのオーディオ信号の値を入力値 X とし、正規化係数部 3 1 からの量子化ステップ幅を表す量子化ステップパラメータを q とすると、式 (1) を計算することにより行われる。すなわち、式 (1) が計算されて、オーディオ信号としての入力値 X から量子化値 Z が求められる。

【 0 0 5 0 】

【 数 1 】

$$Z = (\text{int}) \left(\left(\frac{X}{2^{q/4}} \right)^{3/4} - 0.0946 + 0.5 \right) \dots (1)$$

【 0 0 5 1 】

なお、式 (1) において、 $(\text{int})(A)$ は、浮動小数点数 A の小数部分を切り捨てて整数部分を得る演算を示す。

【 0 0 5 2 】

AAC規格の符号化においては、量子化値 Z は 1 4 ビットと規定されているため、量子化前の値 $Y = X / 2^{q/4}$ とすると、量子化前の値 Y は、逆算することで、 $0 < Y < 8191.5943$ ($4/3$) の範囲の値とされる。したがって、量子化値 Z は、 $0 < Z < 8191$ の範囲の整数とな

10

20

30

40

50

り、量子化値 Z がこの範囲内の値となるように、量子化ステップパラメータ q が定められる。

【 0 0 5 3 】

また、オーディオ信号の量子化処理において、量子化部 3 2 は、全ての入力値 X に対する量子化値 Z を逆量子化し、量子化誤差が所定の範囲内に収まっているか否かを確認する。例えば、式 (2) の演算により逆量子化が行われ、逆量子化値 W が得られる。

【 0 0 5 4 】

【 数 2 】

$$W = (Z)^{4/3} \quad \dots (2)$$

10

【 0 0 5 5 】

さらに、量子化誤差は、逆量子化値 W と入力値 X との差分を求めることで得られ、この差分が所定の範囲内の値となっているか否かの判定が行われる。

【 0 0 5 6 】

すなわち、非線形逆量子化処理においては、入力値である量子化値 Z が整数値であるので、量子化値 Z と逆量子化値 W との関係を予めテーブルとして作成することで、逆量子化処理の実行時には、テーブルに基づいて一意に逆量子化値を決定することができる。一方、非線形量子化処理においては、式 (1) における入力値 X が浮動小数点数である場合、量子化前の値 $Y = X / 2^{q/4}$ も浮動小数点数となるので、量子化前の値 Y に対して量子化値 Z が一意で決定されるテーブルを作成することはできなかった。

20

【 0 0 5 7 】

[量子化部の構成例]

そこで、図 2 のブロック図を参照して、量子化処理において、より効率良く非線形な演算を行うようにした量子化部 3 2 の構成例について説明する。

【 0 0 5 8 】

図 2 の量子化部 3 2 は、範囲テーブル作成部 7 1 および探索量子化部 7 2 から構成され、正規化係数部 3 1 からのオーディオ信号としての入力データ X に基づいて、量子化値 Z を出力する。

【 0 0 5 9 】

範囲テーブル作成部 7 1 は、以下に示される式 (3) において、量子化前の値 Y を順次変化 (増加) させていき、量子化値 Z が変化したときの量子化前の値 Y と、その時の量子化値 Z とを対応付けた範囲テーブルを作成し、探索量子化部 7 2 に供給する。より具体的には、範囲テーブル作成部 7 1 は、量子化前の値 Y を、0.00000000 から 0.00000001, 0.00000002, 0.00000003, ... と、順次増加させていき、離散値としての量子化値 Z が変化したときの量子化前の値 Y を求める。そして、範囲テーブル作成部 7 1 は、量子化値 Z が変化したときの量子化前の値 Y と、その時の量子化値 Z とを対応付けた範囲テーブルを作成する。

30

【 0 0 6 0 】

【 数 3 】

$$Z = (\text{int}) \left(Y^{3/4} - 0.0946 + 0.5 \right) \quad \dots (3)$$

40

【 0 0 6 1 】

量子化値 $Z[m]$ に対応する量子化前の値を $Y[m]$ とすると、量子化値 $Z[m]$ をとりうる量子化前の値 Y の範囲は、 $Y[m-1] < Y < Y[m]$ となる (m は、入力データ X の識別子であり、0 以上の整数)。すなわち、例えば、範囲テーブル作成部 7 1 は、量子化値 $Z[m]$ と、量子化前の値 Y の範囲 $Y[m-1] < Y < Y[m]$ とを対応付けた範囲テーブルを作成する。なお、以下では、量子化値 $Z[m]$ と、量子化前の値 Y の範囲 $Y[m-1] < Y < Y[m]$ とが対応付けられた範囲テーブルを、単に、量子化値 $Z[m]$ と、量子化前の値 Y の範囲 (の境界値) とが対応付けられた範囲テーブルということとする。

【 0 0 6 2 】

50

探索量子化部 7 2 は、探索部 7 2 a および決定部 7 2 b を備えている。探索部 7 2 a は、範囲テーブル作成部 7 1 から供給された範囲テーブルにおいて、正規化係数部 3 1 から供給された入力データ X から算出される量子化前の値 Y が含まれる範囲を探索する。決定部 7 2 b は、探索部 7 2 a によって探索された範囲に対応付けられている量子化値 Z を決定し、 Huffman 符号化部 3 3 に供給する。

【 0 0 6 3 】

以上の構成により、量子化部 3 2 は、予め作成した範囲テーブルに基づいて、入力された入力データから得られる量子化前の値に対応する範囲を探索し、量子化値を出力する。

【 0 0 6 4 】

[量子化部の範囲テーブル作成処理]

次に、図 3 のフローチャートを参照して、図 2 の量子化部 3 2 の範囲テーブル作成処理について説明する。量子化部 3 2 において、範囲テーブル作成処理は、量子化処理を行う前に行われる。

【 0 0 6 5 】

ステップ S 5 1 において、範囲テーブル作成部 7 1 は、上述した式 (3) において、量子化前の値 Y を順次増加させていき、量子化値 Z が変化したときの量子化前の値 Y と、その時の量子化値 Z とを対応付けた範囲テーブルを作成し、探索量子化部 7 2 に供給する。

【 0 0 6 6 】

例えば、範囲テーブル作成部 7 1 は、図 4 に示されるように、量子化値 Z と、量子化前の値 Y の範囲 (の境界値) とを対応付けた範囲テーブルを作成する。量子化値 Z は、 $0 \leq Z < 8191$ の範囲の整数であり、図 4 においては、それぞれの量子化値 Z について、式 (3) を基に得られた量子化前の値 Y の範囲 (の境界値) が対応付けられている。

【 0 0 6 7 】

以上の処理により、量子化処理を行う前に、量子化前の値 Y の範囲と、量子化値 Z とを対応付けた範囲テーブルを作成することができる。

【 0 0 6 8 】

[量子化部の量子化処理]

次に、図 5 のフローチャートを参照して、図 2 の量子化部 3 2 の量子化処理について説明する。

【 0 0 6 9 】

ステップ S 7 1 において、探索量子化部 7 2 の探索部 7 2 a は、範囲テーブル作成部 7 1 から予め供給された範囲テーブルにおいて、正規化係数部 3 1 から供給された入力データ X から算出される量子化前の値 Y が含まれる範囲を探索する。より具体的には、探索量子化部 7 2 は、正規化係数部 3 1 からの入力データ X から、量子化前の値 $Y = X / 2^{q/4}$ を算出し、算出した量子化前の値 Y が含まれる範囲を、範囲テーブルにおいて探索する。

【 0 0 7 0 】

ステップ S 7 2 において、探索量子化部 7 2 の決定部 7 2 b は、探索部 7 2 a によって決定された範囲に対応付けられている量子化値 Z を決定し、 Huffman 符号化部 3 3 に供給する。

【 0 0 7 1 】

図 6 は、図 5 のフローチャートのステップ S 7 1 , S 7 2 における処理を C 言語で記述したプログラムの例を示している。

【 0 0 7 2 】

図 6 のプログラム 8 1 において、各行の左端の数字は、各行の行番号を示しており、説明のために設けたものである。つまり、実際の記述においては不要である。以降、他のプログラムの例においても同様であるものとする。

【 0 0 7 3 】

プログラム 8 1 の 1 行目は、入力データの識別子を表す m を 0 から data_size 個まで 1 ずつインクリメントし、以下の処理を繰り返すことを定義している。

【 0 0 7 4 】

10

20

30

40

50

プログラム 8 1 の 2 , 3 行目においては、m 番目に入力された量子化前の値 Y[m] が、4.9999600e-01F より小さいか否かが判定される。量子化前の値 Y[m] が、4.9999600e-01F より小さい場合、範囲テーブルにおいて、量子化前の値の範囲 $Y[m] < 4.9999600e-01F$ に対応付けられている量子化値 $Z[m]=0$ が決定される。

【 0 0 7 5 】

一方、量子化前の値 Y[m] が、4.9999600e-01F より小さくない場合、5 , 6 行目においては、m 番目に入力された量子化前の値 Y[m] が、1.8629548e+00F より小さいか否かが判定される。量子化前の値 Y[m] が、1.8629548e+00F より小さい場合、範囲テーブルにおいて、量子化前の値の範囲 $Y[m] < 1.8629548e+00F$ に対応付けられている量子化値 $Z[m]=1$ が決定される。

【 0 0 7 6 】

以降、同様にして、N-2 行目まで、量子化前の値 Y[m] が含まれる範囲が、範囲テーブルにおいて、小さな値から順次探索され (ステップ S 7 1 の処理)、その量子化前の値 Y[m] に対応した範囲に設定されている量子化値 Z[m] が決定される (ステップ S 7 2 の処理)。

【 0 0 7 7 】

このようにして、非線形な演算をすることなく、最大でも 8192 回の探索によって、量子化値を決定することができる。

【 0 0 7 8 】

図 5 のフローチャートに戻り、ステップ S 7 3 において、探索量子化部 7 2 は、data_size 個全ての入力データに対して、量子化値 Z の探索の処理を終えたか否かを判定する。全ての入力データに対して、量子化値 Z の探索の処理を終わっていないと判定された場合、処理は、ステップ S 7 1 に戻り、data_size 個全ての入力データに対して処理を終えるまで、ステップ S 7 1 乃至 S 7 3 を繰り返す。

【 0 0 7 9 】

以上の処理により、予め求められている、量子化値 Z と、量子化値 Z をとりうる量子化前の値 Y の範囲とが対応付けられた範囲テーブルに基づいて、入力された入力データ X から算出される量子化前の値 Y に対応する量子化値 Z を決定できる。したがって、式 (3) に含まれる、非線形関数である $3/4$ 乗のべき乗関数の演算をすることなく、図 6 で説明したような、条件による探索によって量子化値 Z を決定できるので、より効率良く非線形な演算を行うことが可能となる。

【 0 0 8 0 】

以上においては、8192 個の条件を順番に探索することによって量子化値を決定する例について説明してきたが、例えば、二分探索を用いれば、 $2^{13} = 8192$ であるので、13 回の条件の判定で、量子化値を決定することができる。

【 0 0 8 1 】

ところで、図 7 の量子化値 Z に対するヒストグラムに示されるように、量子化値 Z について、 $Z < 10$ 程度の量子化値が得られる量子化処理の頻度は高く、量子化値 $Z = 0$ となる量子化処理の頻度が最も高い。また、量子化値 Z が大きくなるにつれて、その量子化値 Z が得られる量子化処理の頻度は低くなっている。すなわち、図 7 は、量子化値 Z が小さい程、その量子化値 Z が得られる量子化処理の回数が多いことを示している。なお、図 7 においては、横軸が量子化値 Z を示しており、縦軸が量子化処理の頻度 (回数) を示している

【 0 0 8 2 】

以下では、量子化処理の頻度の傾向を利用した量子化部の例について説明する。

【 0 0 8 3 】

< 2 . 第 2 の実施の形態 >

[量子化部の構成例]

図 8 は、量子化処理の頻度の傾向を利用した量子化部の構成例を示している。なお、図 8 の量子化部 1 5 1 において、図 2 の量子化部 3 2 に設けられたものと同様の機能を備える構成については、同一名称および同一符号を付するものとし、その説明は、適宜省略す

10

20

30

40

50

るものとする。

【0084】

すなわち、図8の量子化部151において、図2の量子化部32と異なるのは、ハッシュテーブル作成部171を新たに設け、探索量子化部72に代えて、探索量子化部172を設けた点である。

【0085】

図8の量子化部151においては、範囲テーブル作成部71は、作成した範囲テーブルを、ハッシュテーブル作成部171および探索量子化部172に供給する。

【0086】

ハッシュテーブル作成部171は、範囲テーブル作成部71からの範囲テーブルに基づいて、テーブル値の探索を高速にするハッシュテーブルを作成し、探索量子化部172に供給する。

10

【0087】

ここで、ハッシュテーブルとは、範囲テーブルのテーブル値である量子化前の値が含まれる範囲を、量子化前の値に応じたグループに分け、そのグループを示す情報をテーブル値とするテーブルである。すなわち、ハッシュテーブルによれば、量子化前の値が入力されたとき、その量子化前の値に対応したグループが決定され、そのグループにおいて、最初に探索すべきテーブル値である初期探索値から探索が開始される。したがって、範囲テーブルに定義された全てのテーブル値を順次探索するより高速にテーブル値を探索することができる。なお、ハッシュテーブルの作成の詳細は後述する。

20

【0088】

探索量子化部172は、初期探索値決定部172a、探索部172b、および決定部172cを備えている。初期探索値決定部172aは、ハッシュテーブル作成部171から供給されたハッシュテーブルを用いて、範囲テーブルにおける探索開始の値(初期探索値)を決定する。探索部172bは、範囲テーブル作成部71から供給された範囲テーブルにおいて、正規化係数部31から供給された入力データXから算出された量子化前の値Yが含まれる範囲を、初期探索値決定部172aにより決定された初期探索値から探索する。決定部172cは、探索部172bによって探索された範囲に対応付けられている量子化値Zを決定し、ハフマン符号化部33に供給する。

【0089】

以上の構成により、量子化部151は、予め作成した範囲テーブルとハッシュテーブルとに基づいて、入力された入力データから得られる量子化前の値に対応する量子化値を探索し、決定する。

30

【0090】

[量子化部のハッシュテーブル作成処理]

次に、図9のフローチャートを参照して、図8の量子化部151のハッシュテーブル作成処理について説明する。量子化部151において、ハッシュテーブル作成処理は、量子化処理を行う前に行われる。なお、図9のフローチャートにおけるステップS151の処理は、図4のフローチャートを参照して説明した範囲テーブル作成処理と同様であるので、その説明は省略するものとする。

40

【0091】

すなわち、ステップS152において、ハッシュテーブル作成部171は、範囲テーブル作成部71からの範囲テーブルに基づいて、ハッシュテーブルを作成し、探索量子化部172に供給する。

【0092】

より具体的には、例えば、ハッシュテーブル作成部171は、IEEE(Institute for Electrical and Electronics Engineering)754に基づく浮動小数点数の指数部と仮数部を用いてハッシュテーブルを作成する。

【0093】

IEEE754の規格に基づく単精度浮動小数点数を示す浮動小数点型のデータは、図10に

50

示されるように、32ビットのビット列で構成される。すなわち、浮動小数点数のデータの最下位ビットである0ビット目から22ビット目までの部分は、仮数部の仮数Fとされ、23ビット目から30ビット目までは指数部の指数Eとされ、最上位の31ビット目は符号ビットSとされる。

【0094】

ここで、符号ビットSは、仮数部が正である場合には「0」とされ、仮数部が負の場合には「1」とされる。また、指数部のビット構成は「指数+バイアス」となる。例えば、IEEE754の規格では、単精度のバイアスとして127が用いられているため、指数の数値が「0」とあるときは、指数部の値は「127」(=0+127)となり、指数部は127のビット構成(0x7f)となる(「0x」は「7f」が16進数であることを示す)

10

【0095】

なお、指数部が0と255の場合は、特別な値の意味を持つが、その説明は省略する。

【0096】

このような浮動小数点型のデータにより表される値は、数値表現形式で表すと、式(4)に示す通りとなる。

【0097】

【数4】

$$(-1)^S \times 2^{(E-B)} \times (1.F) \quad \dots (4)$$

20

【0098】

なお、式(4)において、「.F」は、仮数Fの上位ビットの前に小数点が位置するものとして仮数部を小数点表現していることを示す。また、式(4)における「B」はバイアス成分を示しており、「S」は符号ビットを示している。

【0099】

次に、上述した浮動小数点数の指数部および仮数部を用いたハッシュテーブルの作成手順の一例を説明する。

【0100】

ハッシュテーブル作成部171は、指数部について、8ビットの指数部の値から125を減算し、その値をindex1とする。ここでは、量子化値Z=0となる範囲が0 < Y < 0.4999600であり、0.25 < 0.4999600 < 0.5を満たし、0.25乃至0.5の区間は指数部の値が125となるので、指数部の減算値を125とする。また、量子化値Z=8191となる範囲は、1.6512946 × 10⁵ < Yであり、1.6512946 × 10⁵を単精度浮動小数点数で表現したときの指数部は144となる。index1は、0乃至19の値をとる。

30

【0101】

また、ハッシュテーブル作成部171は、仮数部について、23ビットの仮数部のうちの上位4ビットを、index2とする。index2は、0乃至15の値をとる。

【0102】

index1およびindex2を要素数とする2次元配列としてのハッシュテーブルに対して、ハッシュテーブル作成部171は、8192個の範囲テーブルの値から指数部および仮数部を取り出し、index1とindex2のいずれかの値が変化する範囲テーブルのインデックスを要素として、ハッシュテーブル(2次元配列)に配置していく。今回の場合、量子化値が0から始まっているので、範囲テーブルのインデックスと量子化値Zは同じものになる。

40

【0103】

後述する図13における範囲テーブルquantize_tab[8192]を用いて、ハッシュテーブルの作成の手順について説明する。インデックス1のquantize_tab[1]=1.8629548は、index1=3、index2=12となり、インデックス2のquantize_tab[2]=3.5652816は、index1=4、index2=6となる。これにより量子化値Z=2となる範囲は1.8629548 < Y < 3.5652816であるので、この区間の量子化前の値Yに対するindex1とindex2の組み合わせはindex1=3、index2=12乃至15、またはindex1=4、index2=0乃至6のいずれかになる。これらのindex1とindex2

50

x2のハッシュテーブルには範囲テーブルのインデックス2を配置しておく。

【0104】

図11は、後述する図13における範囲テーブルquantize_tab[8192]に基づいて、上述した手順で作成されるハッシュテーブルquantize_hash[index1][index2]をC言語で記述した例を示している。

【0105】

図11のプログラム181において、quantize_hash[20][16]は、20×16の2次元配列を表している。

【0106】

例えば、3,4行目には、index1=0, index2=0乃至16であるテーブル値が記述されている。6,7行目には、index1=1, index2=0乃至16であるテーブル値が記述されている。以降、同様にして、テーブル値が記述され、N-3, N-2行目には、index1=19, index2=0乃至16であるテーブル値が記述されている。

10

【0107】

図11のプログラム181に示されるとおり、ハッシュテーブルに指数部および仮数部を用いると、ハッシュテーブルのテーブル値(要素)として、量子化値が小さいものが多く割り当てられている。

【0108】

特に、3乃至28行目のindex1=8以下の場合、隣り合う値との差が1しかないので、後述する量子化処理において、index1=8以下となる量子化前の値Yについては、1回みの探索で量子化値Zを決定することができる。

20

【0109】

また、上述のハッシュテーブルを用いた場合、例えば、index1=18, index2=0のとき、そのときのテーブル値4096と、次のテーブル値4286との差(量子化前の値の範囲)が190あるので、190回の探索を行う必要がある。しかしながら、図7で示したように、このテーブル値付近の量子化値はほとんど発生しないので、探索の回数が多くなったとしても問題ではない。

【0110】

以上の処理により、量子化処理を行う前に、範囲テーブルにおけるテーブル値の探索を高速にするハッシュテーブルを作成することができる。

30

【0111】

[量子化部の量子化処理]

次に、図12のフローチャートを参照して、図8の量子化部151の量子化処理について説明する。

【0112】

ステップS171において、探索量子化部172の探索部172bは、範囲テーブル作成部71から予め供給された範囲テーブルに基づいて、正規化係数部31から供給された入力データXに対応する量子化前の値Yが含まれる範囲を、条件文を用いて所定回数だけ探索する。より具体的には、探索部172bは、正規化係数部31からの入力データXから、量子化前の値 $Y = X / 2^{q/4}$ を算出し、算出した量子化前の値Yが含まれる範囲を、範囲テーブルにおいて、条件文を用いて所定回数だけ探索する。

40

【0113】

ステップS172において、探索部172bは、所定回数の探索によって、量子化前の値Yが含まれる範囲が求まったか否かを判定する。

【0114】

ステップS172において、所定回数の探索によって、量子化前の値Yが含まれる範囲が求まったと判定された場合、処理は、ステップS173に進む。

【0115】

ステップS173において、探索量子化部172の決定部172cは、探索部172bによって探索された範囲に対応付けられている量子化値を決定し、ハフマン符号化部33

50

に供給して、処理は、ステップ S 1 7 7 に進む。

【 0 1 1 6 】

一方、ステップ S 1 7 2 において、所定回数の探索によって、量子化前の値 Y が含まれる範囲が求まらなかった場合、処理は、ステップ S 1 7 4 に進む。

【 0 1 1 7 】

ステップ S 1 7 4 において、探索量子化部 1 7 2 の初期探索値決定部 1 7 2 a は、ハッシュテーブル作成部 1 7 1 から供給されたハッシュテーブルを用いて、範囲テーブルにおける初期探索値を決定する。より具体的には、初期探索値決定部 1 7 2 a は、正規化係数部 3 1 からの入力データ X から、量子化前の値 $Y = X / 2^{q/4}$ を算出し、算出した量子化前の値 Y (浮動小数点数) の指数部および仮数部に基づいて、index1 と index2 を算出し、ハッシュテーブルから範囲テーブルの初期探索値を決定する。

10

【 0 1 1 8 】

ステップ S 1 7 5 において、探索部 1 7 2 b は、初期探索値と、範囲テーブル作成部 7 1 から供給された範囲テーブルとに基づいて、入力データ X に対応する量子化前の値 Y が含まれる範囲を探索する。

【 0 1 1 9 】

ステップ S 1 7 6 において、決定部 1 7 2 c は、探索部 1 7 2 b によって探索された範囲に対応付けられている量子化値 Z を決定し、ハフマン符号化部 3 3 に供給する。

【 0 1 2 0 】

ステップ S 1 7 7 において、探索量子化部 1 7 2 は、data_size 個全ての入力データに対して、量子化値 Z の探索の処理を終えたか否かを判定する。全ての入力データに対して、量子化値 Z の探索の処理を終わっていないと判定された場合、処理は、ステップ S 1 7 1 に戻り、data_size 個全ての入力データに対して処理を終えるまで、ステップ S 1 7 1 乃至 S 1 7 7 を繰り返す。

20

【 0 1 2 1 】

図 1 3 は、図 1 2 のフローチャートのステップ S 1 7 1 乃至 S 1 7 7 における処理を C 言語で記述したプログラムの例を示している。

【 0 1 2 2 】

図 1 3 のプログラム 1 9 1 において、1 行目乃至 8195 行目の quantize_tab[8192] は、範囲テーブルを示している。

30

【 0 1 2 3 】

8196 行目乃至 8199 行目は、値 uni0 が異なる型のデータとして用いられることを定義している。また、8200 行目は、入力データの識別子を表す m を 0 から data_size 個まで 1 ずつインクリメントし、以下の処理を繰り返すことを定義している。

【 0 1 2 4 】

8202 行目乃至 8215 行目においては、量子化前の値 Y[m] (=uni0.f) が含まれる範囲が順番に 5 回、条件文により探索される (ステップ S 1 7 1 の処理)。

【 0 1 2 5 】

また、8218 行目乃至 8220 行目においては、図 1 1 で説明したハッシュテーブル quantize_hash[index1][index2] を用いて、量子化前の値 Y[m] (=uni0.f) の初期探索値が決定される (ステップ S 1 7 4 の処理)。

40

【 0 1 2 6 】

そして、8221 行目および 8222 行目においては、初期探索値 k と範囲テーブル quantize_tab[k] とに基づいて、量子化前の値 Y[m] (=uni0.f) が含まれる範囲が探索される (ステップ S 1 7 5 の処理)。

【 0 1 2 7 】

このようにして、量子化前の値が大きい場合には、ハッシュテーブルによって初期探索値が決定されるので、小さな値から順次探索していく図 6 のプログラム 8 1 よりも高速に、量子化前の値が含まれる範囲が探索される。

【 0 1 2 8 】

50

以上の処理により、量子化処理の頻度の高い量子化値に対しては範囲テーブルに基づいて、また、量子化処理の頻度の低い量子化値に対してはハッシュテーブルに基づいて、入力された入力データ X から算出される量子化前の値 Y に対応する量子化値 Z を決定できる。したがって、式 (3) で示される、非線形関数である 3 / 4 乗のべき乗関数の演算をすることなく、また、より少ない回数の探索によって量子化値 Z を決定できるので、より効率良く、かつ、より迅速に非線形な演算を行うことが可能となる。

【0129】

なお、以上においては、範囲テーブルに基づく条件文判定と、ハッシュテーブルによる初期探索値の決定とを併用して量子化値 Z を求めるようにしたが、ハッシュテーブルによる初期探索値の決定のみで量子化値 Z を求めるようにしてもよい。

10

【0130】

[固定小数点数での応用例]

以上においては、量子化前の値や範囲テーブルの値を、浮動小数点数として扱ってきたが、これらの値を固定小数点数として扱うこともできる。より具体的には、量子化値に対応する量子化前の値の範囲を浮動小数点数で算出し、その浮動小数点数を基に、固定小数点数の整数部分を算出すればよい。

【0131】

以下に、上述した、浮動小数点数で表現された範囲テーブル `quantize_tab[8192]` に対して、32ビットのうち8ビット目に小数点の位置を設けて、固定小数点数とした場合の、範囲テーブルとハッシュテーブルを併用した例について説明する。範囲テーブル値は、

20

【0132】

まず、初期探索値決定部 172 a におけるハッシュテーブルの `index1` および `index2` の算出は、以下の手順で行われる。

【0133】

すなわち、量子化前の値 Y において、1 がたつ最上位ビットの位置 `cnt` を探索し、`index1` は、式 (5) より算出される。

【0134】

【数5】

$$\text{index1} = \text{cnt} - P + 2 \quad \dots (5)$$

30

【0135】

式 (5) において、P は、小数点位置を示しており、この場合、P = 8 である。また、式 (5) における “2” は、浮動小数点数のハッシュテーブル作成の際に、指数部の基準となった 125 と、IEEE754 の規格で定められているバイアス 127 との差分である。

【0136】

また、`index2` は、式 (6) および式 (7) で示されるように、量子化前の値 Y において、1 がたつ最上位ビットを 0 にして、`cnt - 4` 分右シフトすることで算出されるものとする。

【0137】

40

【数6】

$$Y = Y - \text{mask} \quad \dots (6)$$

$$\text{index2} = Y \gg (\text{cnt} - 4) \quad \dots (7)$$

【0138】

なお、式 (6) における “mask” は、16進数で「0x40000000」（2進数で「100 0000 0000 0000 0000 0000 0000 0000」（32ビット））から始まり、量子化前の値 Y に対して1がたつ最上位ビットまで1ビットずつ右シフト演算されていく。“mask” は、最終的に、量子化前の値 Y に対して1がたつ最上位ビットを表す値になる。すなわち、式 (6) で減算することで、1がたつ最上位ビットを0にしている。式 (7) における “>>” は、

50

右シフト演算を表している。

【 0 1 3 9 】

図 1 4 は、図 1 3 で説明した範囲テーブルquantize_tab[8192]における浮動小数点数の値を 3 2 ビットで 8 ビット目に小数点の位置がある固定小数点数とした場合の例を C 言語で記述したプログラムの例を示している。

【 0 1 4 0 】

図 1 4 のプログラム 2 0 1 において、1 行目乃至8195行目のquantize_tab_int[8192]は、固定小数点数化された範囲テーブルを示している。

【 0 1 4 1 】

8196行目は、整数型の値yinを定義している。また、8197行目は、入力データの識別子を表すmを0からdata_size個まで1ずつインクリメントし、以下の処理を繰り返すことを定義している。

【 0 1 4 2 】

8199行目乃至8212行目においては、3 2 ビットで 8 ビット目に小数点の位置がある、固定小数点数化された量子化前の値Y[m] (=yin) が含まれる範囲が順番に 5 回探索される (ステップ S 1 7 1 の処理)。

【 0 1 4 3 】

また、8223行目乃至8225行目においては、図 1 1 で説明したハッシュテーブルquantize_hash[index1][index2]を用いて、量子化前の値Y[m] (=yin) の初期探索値が決定される (ステップ S 1 7 4 の処理)。

【 0 1 4 4 】

そして、8226行目および8227行目においては、初期探索値 k と範囲テーブルquantize_tab[k]とに基づいて、量子化前の値Y[m] (=yin) が含まれる範囲が探索される (ステップ S 1 7 5 の処理)。

【 0 1 4 5 】

以上の処理においても、式 (1) に含まれるべき乗関数の演算をすることなく、固定小数点数の値からなる範囲テーブルおよびハッシュテーブルを用いた探索によって量子化値を決定できるので、より効率良く非線形な演算を行うことが可能となる。

【 0 1 4 6 】

[実行結果]

ここで、図 1 5 を参照して、上述した量子化処理を適用したときのサイクル数について説明する。図 1 5 は、RISC(Reduced Instruction Set Computer) CPUであるMIPS社R4000を用いて、上述した量子化処理をそれぞれ実行したときのサイクル数を示している。

【 0 1 4 7 】

図 1 5 に示されるように、従来手法 (式 (1) に含まれるべき乗関数) の演算を含む量子化処理を実行したときのサイクル数を1.00とすると、条件文 (範囲テーブル) を用いた (条件による探索を含む) 量子化処理 (図 5) を実行したときのサイクル数は、0.28となり、72%の効率改善がされている。また、ハッシュテーブルを用いた量子化処理を実行したときのサイクル数は、0.32となり、68%の効率改善され、また、条件文とハッシュテーブルとを併用した量子化処理 (図 1 2) を実行したときのサイクル数は、0.21となり、79%の効率改善されている。

【 0 1 4 8 】

以上のように、本発明の量子化処理によれば、従来手法よりも効率を改善することができる。

【 0 1 4 9 】

< 3 . 第 3 の実施の形態 >

[非線形関数と離散値]

以上においては、AAC規格の量子化処理について説明してきたが、ISO/IEC11172-3にて標準化されているMPEG-1オーディオレイヤ 3 (MP3) の量子化処理においても、式 (1) および式 (2) と同様の量子化および逆量子化処理が行われているので、MP3の量子化お

10

20

30

40

50

よび逆量子化処理においても、本発明を適用することができる。

【0150】

また、以上においては、非線形関数としてAAC規格の量子化処理で用いられるべき乗関数を例に説明してきたが、式(8)に示されるように、入力値Xに対する所定の非線形関数func(X)について、離散値Yを得る場合においても、本発明を適用することができる。

【0151】

【数7】

$$Y = (\text{int})(\text{func}(X)) \quad \dots (8)$$

【0152】

10

また、上述した説明では、離散値は整数であるものとして説明してきたが、式(9)に示されるように、入力値Xに対して、離散値Yが一意に定めればよく、その離散値Yが、浮動小数点数であっても、本発明を適用することができる。

【0153】

【数8】

$$Y = (\text{int})(\text{func}(X)) + 0.45 \quad \dots (9)$$

【0154】

さらに、上述したように、入力値Xに対して、離散値Yが一意に定めればよいので、その離散値Yをとる入力値Xの範囲は複数であってもよい。

20

【0155】

また、入力値Xを離散値Yに変換する演算処理の頻度の高い範囲にのみ、本実施の形態を適用し、その他の範囲に対しては、単に、式(8)で示されるような演算を行うようにしてもよい。

【0156】

さらに、以上においては、離散値Yをとる入力値Xの範囲を予め算出しておくようにしたが、例えば、入力値Xの離散値Yへの変換処理の最中に、離散値Yをとる入力値Xの範囲が変化する場合には、適宜、入力値Xの範囲を算出し直すようにしてもよい。

【0157】

[演算装置の構成例]

30

ここで、図16のブロック図を参照して、入力値Xに対して、所定の非線形関数func(X)による演算を施し、離散値Yを出力する演算装置について説明する。

【0158】

図13の演算装置401は、範囲テーブル作成部431および探索変換部432から構成される。

【0159】

範囲テーブル作成部431は、例えば、上述した式(7)において、入力値Xを順次変化させていき、離散値Yが変化したときの入力値Xと、そのときの離散値Yとを対応付けた範囲テーブルを作成し、探索変換部432に供給する。

【0160】

40

探索変換部432は、探索部432aおよび決定部432bを備えている。探索部432aは、範囲テーブル作成部431から供給された範囲テーブルにおいて、入力された入力値が含まれる範囲を探索する。決定部432bは、探索部432aによって探索された範囲に対応付けられている離散値を決定し、外部の装置に出力する。

【0161】

[演算装置の範囲テーブル作成処理]

次に、図17のフローチャートを参照して、図16の演算装置401の範囲テーブル作成処理について説明する。演算装置401において、範囲テーブル作成処理は、離散値探索処理を行う前に行われる。

【0162】

50

ステップS 2 5 1において、範囲テーブル作成部4 3 1は、例えば、上述した式(7)において、入力値Xを順次変化させていき、離散値Yが変化したときの入力値Xと、そのときの離散値Yとを対応付けた範囲テーブルを作成し、探索変換部4 3 2に供給する。

【0 1 6 3】

以上の処理により、離散値出力処理を行う前に、入力値の範囲と、離散値とを対応付けた範囲テーブルを作成することができる。

【0 1 6 4】

[演算装置の離散値探索処理]

次に、図1 8のフローチャートを参照して、図1 6の演算装置4 0 1の離散値探索処理について説明する。

【0 1 6 5】

ステップS 2 7 1において、探索変換部4 3 2の探索部4 3 2 aは、範囲テーブル作成部4 3 1から供給された範囲テーブルにおいて、入力された入力値が含まれる範囲を探索する。

【0 1 6 6】

ステップS 2 7 2において、探索変換部4 3 2の決定部4 3 2 bは、探索部4 3 2 aによって探索された範囲に対応付けられている離散値を決定し、外部の装置に出力する。

【0 1 6 7】

ステップS 2 7 3において、探索変換部4 3 2は、全ての入力値に対して、離散値の探索の処理を終えたか否かを判定する。全ての入力値に対して、離散値の探索の処理を終わっていないと判定された場合、処理は、ステップS 2 7 1に戻り、全ての入力値に対して処理を終えるまで、ステップS 2 7 1乃至S 2 7 3を繰り返す。

【0 1 6 8】

以上の処理により、予め求められている離散値に対応する入力値の範囲に基づいて、入力された入力値に対応する離散値を決定できる。したがって、例えば、非線形関数である $\text{func}(X)$ の演算をすることなく、範囲テーブルを用いた探索によって離散値を決定できるので、より効率良く非線形な演算処理を行うことが可能となる。

【0 1 6 9】

なお、図1 6の演算装置4 0 1は、1つの入力値Xに対して、その入力値が含まれる範囲と離散値Yとが対応付けられた、1つの範囲テーブルを有するようにしたが、入力値の種類毎に、それぞれの入力値の範囲と離散値とが対応付けられた、複数の範囲テーブルを有することができる。すなわち、演算装置4 0 1は、入力値の種類を示す情報やアドレス等に応じて、対応する範囲テーブルを読み出し、読み出した範囲テーブルを用いて、その入力値の範囲に対応する離散値を出力することができる。

【0 1 7 0】

これにより、複数種類の入力値に対して、それぞれの離散値を出力する場合であっても、入力値の種類に応じた範囲テーブルを読み出すことによって、1つの演算装置のみで複数種類の離散値を出力することができる。

【0 1 7 1】

上述した一連の処理は、ハードウェアにより実行することもできるし、ソフトウェアにより実行することもできる。一連の処理をソフトウェアにより実行する場合には、そのソフトウェアを構成するプログラムが、専用のハードウェアに組み込まれているコンピュータ、または、各種のプログラムをインストールすることで、各種の機能を実行することが可能な、例えば汎用のパーソナルコンピュータ等に、プログラム記録媒体からインストールされる。

【0 1 7 2】

図1 9は、上述した一連の処理をプログラムにより実行するコンピュータのハードウェアの構成例を示すブロック図である。

【0 1 7 3】

コンピュータにおいて、CPU (Central Processing Unit) 9 0 1, ROM (Read Only Mem

10

20

30

40

50

ory) 9 0 2 , RAM (Random Access Memory) 9 0 3 は、バス 9 0 4 により相互に接続されている。

【 0 1 7 4 】

バス 9 0 4 には、さらに、入出力インタフェース 9 0 5 が接続されている。入出力インタフェース 9 0 5 には、キーボード、マウス、マイクロホン等よりなる入力部 9 0 6、ディスプレイ、スピーカ等よりなる出力部 9 0 7、ハードディスクや不揮発性のメモリ等よりなる記憶部 9 0 8、ネットワークインタフェース等よりなる通信部 9 0 9、磁気ディスク、光ディスク、光磁気ディスク、或いは半導体メモリ等のリムーバブルメディア 9 1 1 を駆動するドライブ 9 1 0 が接続されている。

【 0 1 7 5 】

以上のように構成されるコンピュータでは、CPU 9 0 1 が、例えば、記憶部 9 0 8 に記憶されているプログラムを、入出力インタフェース 9 0 5 およびバス 9 0 4 を介して、RAM 9 0 3 にロードして実行することにより、上述した一連の処理が行われる。

【 0 1 7 6 】

コンピュータ (CPU 9 0 1) が実行するプログラムは、例えば、磁気ディスク (フレキシブルディスクを含む)、光ディスク (CD-ROM (Compact Disc-Read Only Memory), DVD (Digital Versatile Disc) 等)、光磁気ディスク、もしくは半導体メモリ等よりなるパッケージメディアであるリムーバブルメディア 9 1 1 に記録して、あるいは、ローカルエリアネットワーク、インターネット、デジタル衛星放送といった、有線または無線の伝送媒体を介して提供される。

【 0 1 7 7 】

そして、プログラムは、リムーバブルメディア 9 1 1 をドライブ 9 1 0 に装着することにより、入出力インタフェース 9 0 5 を介して、記憶部 9 0 8 にインストールすることができる。また、プログラムは、有線または無線の伝送媒体を介して、通信部 9 0 9 で受信し、記憶部 9 0 8 にインストールすることができる。その他、プログラムは、ROM 9 0 2 や記憶部 9 0 8 に、あらかじめインストールしておくことができる。

【 0 1 7 8 】

なお、コンピュータが実行するプログラムは、本明細書で説明する順序に沿って時系列に処理が行われるプログラムであっても良いし、並列に、あるいは呼び出しが行われたとき等の必要なタイミングで処理が行われるプログラムであっても良い。

【 0 1 7 9 】

また、本発明の実施の形態は、上述した実施の形態に限定されるものではなく、本発明の要旨を逸脱しない範囲において種々の変更が可能である。

【 図面の簡単な説明 】

【 0 1 8 0 】

【 図 1 】 本発明を適用したオーディオ符号化装置の一実施の形態の構成例を示すブロック図である。

【 図 2 】 図 1 のオーディオ符号化装置における量子化部の構成例を示すブロック図である。

【 図 3 】 図 2 の量子化部の範囲テーブル作成処理について説明するフローチャートである。

【 図 4 】 範囲テーブルの例を示す図である。

【 図 5 】 図 2 の量子化部の量子化処理について説明するフローチャートである。

【 図 6 】 図 5 のフローチャートのステップ S 7 2 , S 7 3 における処理を C 言語で記述したプログラムの例を示す図である。

【 図 7 】 量子化値に対する量子化処理の頻度について説明する図である。

【 図 8 】 量子化部の他の構成例を示すブロック図である。

【 図 9 】 図 8 の量子化部のハッシュテーブル作成処理について説明するフローチャートである。

【 図 1 0 】 浮動小数点型のデータについて説明する図である。

10

20

30

40

50

- 【図11】ハッシュテーブルをC言語で記述した例を示す図である。
- 【図12】図8の量子化部の量子化処理について説明するフローチャートである。
- 【図13】図12のフローチャートのステップS172乃至S178における処理をC言語で記述したプログラムの例を示す図である。
- 【図14】図13のプログラムの例において浮動小数点数を固定小数点数とした場合の例をC言語で記述したプログラムの例を示す図である。
- 【図15】量子化処理を適用したときのサイクル数について説明する図である。
- 【図16】本発明を適用した演算装置の一実施の形態の構成例を示すブロック図である。
- 【図17】図16の演算装置の範囲テーブル作成処理について説明するフローチャートである。
- 【図18】図16の演算装置の離散値探索処理について説明するフローチャートである。
- 【図19】パーソナルコンピュータの構成例を示すブロック図である。

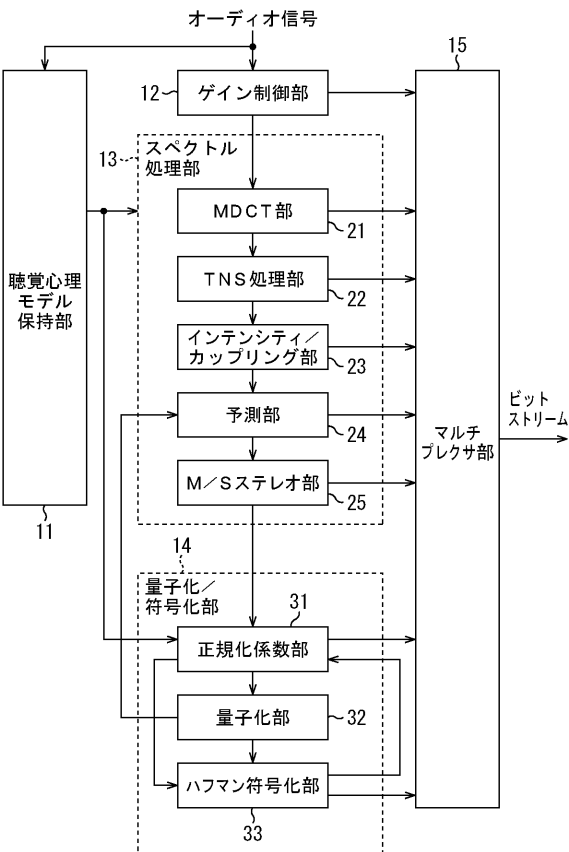
【符号の説明】

【0181】

32 量子化部, 71 範囲テーブル作成部, 72 探索量子化部, 72a 探索部, 72b 決定部, 151 量子化部, 171 ハッシュテーブル作成部, 172 探索量子化部, 173a 初期探索値決定部, 172b 探索部, 172c 決定部, 401 演算装置, 431 範囲テーブル作成部, 432 探索変換部, 432a 探索部, 432b 決定部

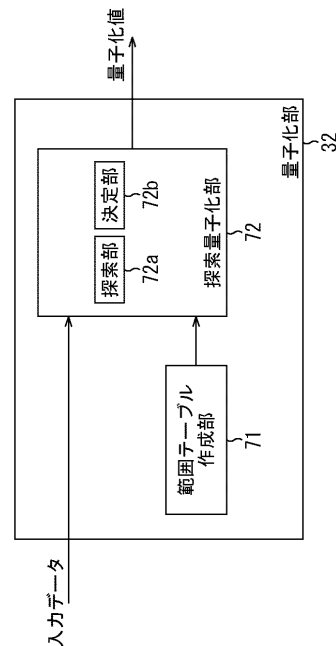
【図1】

図1



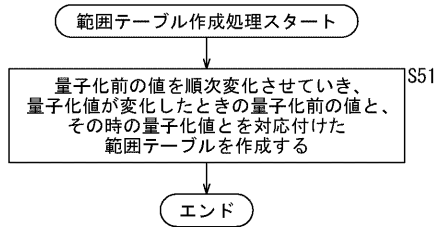
【図2】

図2



【 図 3 】

図3



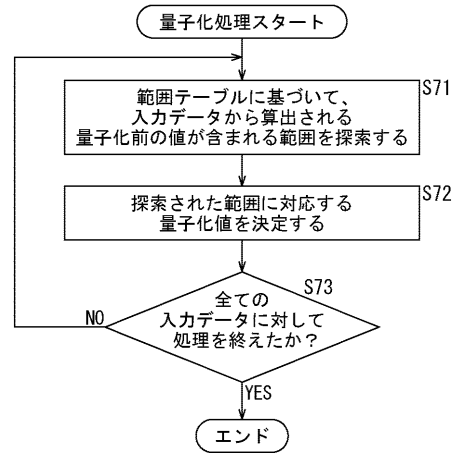
【 図 4 】

図4

| 量子化値 Z | 量子化前の値 Y の範囲 |
|--------|----------------|
| 0 | 4.9999600e-01F |
| 1 | 1.8629548e+00F |
| 2 | 3.5652816e+00F |
| 3 | 5.5063962e+00F |
| ⋮ | ⋮ |
| 8189 | 1.6507573e+05F |
| 8190 | 1.6510260e+05F |
| 8191 | 1.6512946e+05F |

【 図 5 】

図5



【 図 6 】

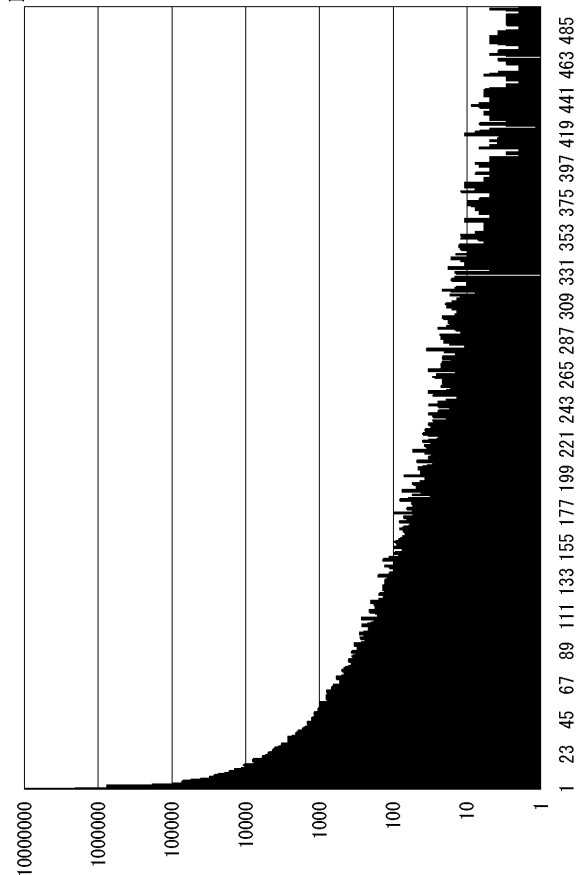
図6

```

    81
    1   for (m = 0; m < data_size; m += 1) {
    2       if (Y[m] < 4.9999600e-01F) {
    3           Z[m] = 0;
    4       }
    5       else if (Y[m] < 1.8629548e+00F) {
    6           Z[m] = 1;
    7       }
    8       else if (Y[m] < 3.5652816e+00F) {
    9           Z[m] = 2;
    10      }
    11      else if (Y[m] < 5.5063962e+00F) {
    12          Z[m] = 3;
    13      }
    14      ⋮
    N-9      else if (Y[m] < 1.6507573e+05F) {
    N-8          Z[m] = 8189;
    N-7      }
    N-6      else if (Y[m] < 1.6510260e+05F) {
    N-5          Z[m] = 8190;
    N-4      }
    N-3      else if (Y[m] < 1.6512946e+05F) {
    N-2          Z[m] = 8191;
    N-1      }
    N      }
  
```

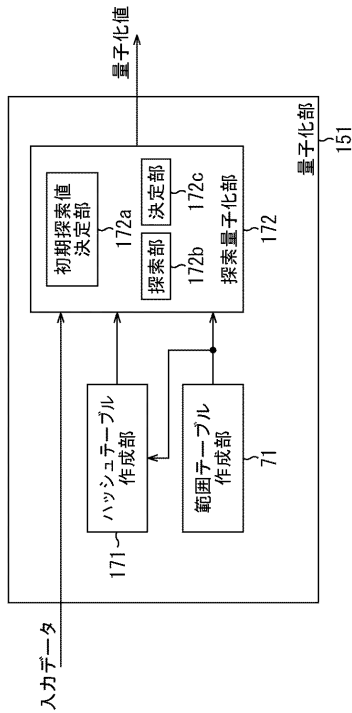
【 図 7 】

図7



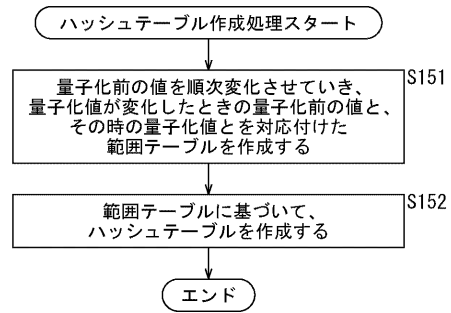
【 図 8 】

図8



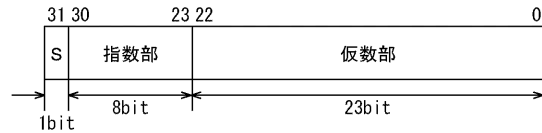
【 図 9 】

図9



【 図 1 0 】

図10



【 図 1 1 】

図11

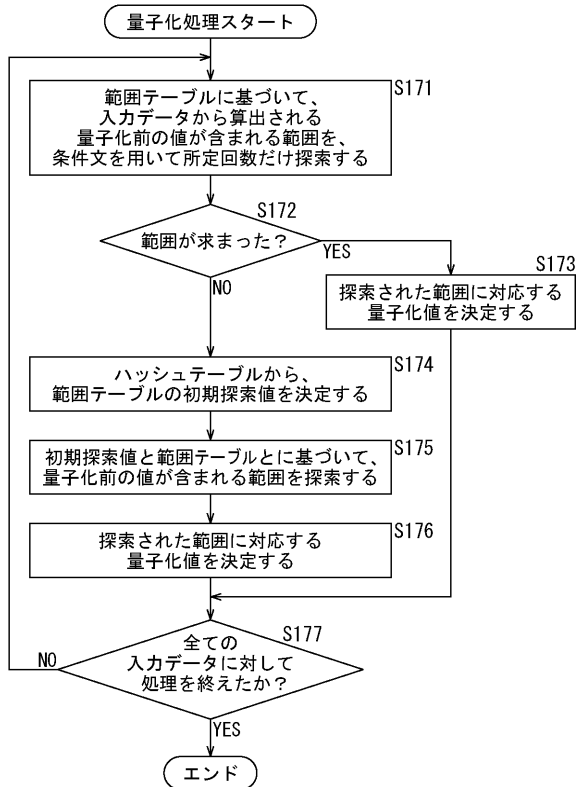
```

181
short quantize_hash[20][16]
= [
2  /* 指数部index1 = 0 */
3  [ 0, 0, 0, 0, 0, 0, 0, 0, 0, 0, 0, 0, 0, 0, 0, 0 ],
4  /* 指数部index1 = 1 */
5  [ 0, 0, 0, 0, 0, 0, 0, 0, 0, 0, 0, 0, 0, 0, 0, 0 ],
6  /* 指数部index1 = 2 */
7  [ 0, 0, 0, 0, 0, 0, 0, 0, 0, 0, 1, 1, 1, 1, 1, 1 ],
8  /* 指数部index1 = 3 */
9  [ 1, 1, 1, 1, 1, 1, 1, 1, 1, 1, 1, 1, 1, 1, 1, 1 ],
10 /* 指数部index1 = 4 */
11 [ 1, 1, 1, 1, 1, 1, 2, 2, 2, 2, 2, 2, 2, 2, 2, 2 ],
12 /* 指数部index1 = 5 */
13 [ 2, 2, 2, 2, 2, 2, 2, 2, 3, 3, 3, 3, 3, 3, 3, 3 ],
14 /* 指数部index1 = 6 */
15 [ 3, 3, 3, 3, 3, 3, 3, 3, 3, 3, 4, 4, 4, 4, 4, 4 ],
16 /* 指数部index1 = 7 */
17 [ 4, 4, 4, 4, 4, 4, 5, 5, 5, 5, 5, 5, 5, 5, 5, 5 ],
18 /* 指数部index1 = 8 */
19 [ 6, 6, 6, 6, 6, 6, 6, 6, 7, 7, 7, 7, 7, 7, 7, 7 ],
20 /* 指数部index1 = 9 */
21 [ 7, 8, 8, 8, 8, 8, 8, 8, 9, 9, 9, 9, 9, 9, 9, 9 ],
22 /* 指数部index1 = 10 */
23 [ 10, 10, 11, 11, 11, 11, 11, 11, 12, 12, 12, 12, 12, 12, 12, 12 ],
24 /* 指数部index1 = 11 */
25 [ 13, 14, 14, 15, 15, 15, 15, 15, 16, 17, 17, 17, 17, 17, 17, 17 ],
26 /* 指数部index1 = 12 */
27 [ 18, 18, 19, 19, 19, 19, 20, 20, 20, 21, 21, 21, 21, 21, 21, 21 ],
28 /* 指数部index1 = 13 */
29 [ 23, 24, 25, 26, 26, 26, 26, 26, 27, 28, 29, 29, 29, 29, 29, 29 ],
30 /* 指数部index1 = 14 */
31 [ 31, 31, 32, 33, 33, 33, 33, 33, 34, 35, 36, 36, 36, 36, 36, 36 ],
32 /* 指数部index1 = 15 */
33 [ 38, 40, 41, 43, 43, 43, 43, 43, 45, 47, 48, 48, 48, 48, 48, 48 ],
34 /* 指数部index1 = 16 */
35 [ 51, 53, 55, 56, 56, 56, 56, 56, 58, 59, 61, 61, 61, 61, 61, 61 ],
36 /* 指数部index1 = 17 */
37 [ 51, 53, 55, 56, 56, 56, 56, 56, 58, 59, 61, 61, 61, 61, 61, 61 ],
38 /* 指数部index1 = 18 */
39 [ 4096, 4286, 4474, 4659, 4842, 5023, 5201, 5377, 5552, 5724, 5895, 6064, 6232, 6398, 6563, 6726 ],
40 /* 指数部index1 = 19 */
41 [ 6889, 7209, 7525, 7836, 8143, 8143, 8143, 8143, 8143, 8143, 8143, 8143, 8143, 8143, 8143, 8143 ],
42 ]

```

【 図 1 2 】

図12



【 図 1 3 】

図13

```

191
1 float quantize_tab[8192]
2 = {
3     4.9999600e-01F, /* 0 */
4     1.8629548e+00F, /* 1 */
5     3.5652816e+00F, /* 2 */
6     5.5063962e+00F, /* 3 */
7     :
8192    1.6507573e+05F, /* 8189 */
8193    1.6510260e+05F, /* 8190 */
8194    1.6512946e+05F, /* 8191 */
8195 };
8196 union {
8197     float f;
8198     int i;
8199 } uni0;
8200 for (m = 0; m < data_size; m += 1) {
8201     uni0.f = Y[m];
8202     if (uni0.f < 4.9999600e-01F) {
8203         k = 0;
8204     }
8205     else if (uni0.f < 1.8629548e+00F) {
8206         k = 1;
8207     }
8208     else if (uni0.f < 3.5652816e+00F) {
8209         k = 2;
8210     }
8211     else if (uni0.f < 5.5063962e+00F) {
8212         k = 3;
8213     }
8214     else if (uni0.f < 7.6383047e+00F) {
8215         k = 4;
8216     }
8217     else {
8218         index1 = (uni0.i >> 23) - 125; /* 指数部 */
8219         index2 = (uni0.i & 0x007FFFFF) >> (23 - 4); /* 仮数部 */
8220         k = quantize_hash[index1][index2];
8221         for (; k < 8192; k++) {
8222             if (uni0.f < quantize_tab[k]) {
8223                 break;
8224             }
8225         }
8226     }
8227     Z[m] = k;
8228 }
    
```

【 図 1 4 】

図14

```

201
1 int quantize_tab_int[8192]
2 = {
3     128, /* 0 */
4     486, /* 1 */
5     913, /* 2 */
6     1410, /* 3 */
7     :
8192    42259386, /* 8189 */
8193    42266266, /* 8190 */
8194    42273142, /* 8191 */
8195 };
8196 int yin;
8197 for (m = 0; m < data_size; m += 1) {
8198     yin = Y[m];
8199     if (yin < 128) {
8200         k = 0;
8201     }
8202     else if (yin < 486) {
8203         k = 1;
8204     }
8205     else if (yin < 913) {
8206         k = 2;
8207     }
8208     else if (yin < 1410) {
8209         k = 3;
8210     }
8211     else if (yin < 1955) {
8212         k = 4;
8213     }
8214     else {
8215         mask = 0x40000000;
8216         for (cnt = 30; cnt >= 0; cnt--) {
8217             if ((yin & mask) > 0) {
8218                 break;
8219             }
8220             mask = mask >> 1;
8221         }
8222         yin = yin - mask;
8223         index1 = cnt - 8 + 2; /* 指数部 */
8224         index2 = yin >> (cnt - 4); /* 仮数部 */
8225         k = quantize_hash[index1][index2];
8226         for (; k < 8192; k++) {
8227             if (yin < quantize_tab_int[k]) {
8228                 break;
8229             }
8230         }
8231     }
8232     Z[m] = k;
8233 }
    
```

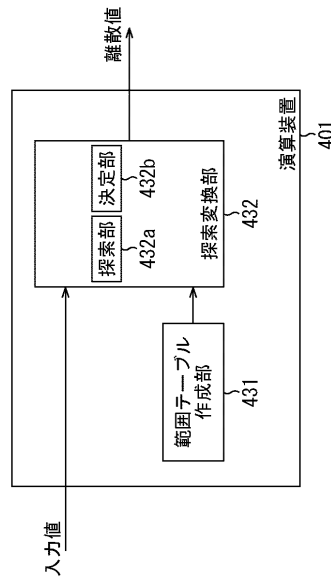
【 図 1 5 】

図15

| 手法 | 比率 |
|-----------------|------|
| 従来手法 | 1.00 |
| 条件文 | 0.28 |
| ハッシュテーブル | 0.32 |
| 条件文とハッシュテーブルの併用 | 0.21 |

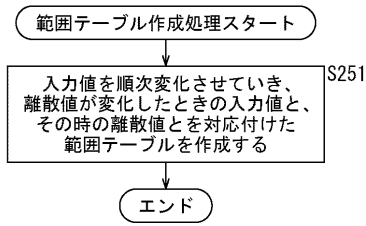
【 図 1 6 】

図16



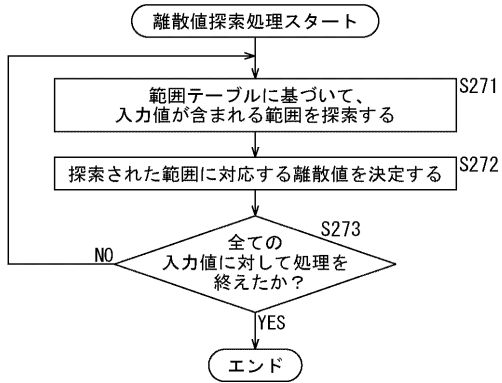
【図 17】

図17



【図 18】

図18



【図 19】

図19

